

苏联 B.M. 罗金诺夫著

无线电工程计算图表集

无线电工程计算图表
(说明书)

苏联 B.M. 罗金 諾夫著

顧国光译

参 考 资 料

18. Г. А. 列麦扎(Ремеза)譯自英文 厘米波傳輸線“苏联无线电” 1951
19. Д. Ж. 斯萊捷爾(Слэтер)超短波傳輸 國家技术出版社 1946
20. Н. И. 别洛魯索夫(Белоруссов)和И.И.格罗德涅夫(Гродненев) 射頻電纜 國家动力出版社 1952
21. Р. 薩爾巴海爾(Сарбахер) 和 В. 爱德松(Эдсон)特高頻技术 通訊出版社 1947
22. Д.К. А. 斯特爾艾統(Стрэттон) 电磁理論 國家技术出版社 1948
23. Б. А. 雜堅斯基(Введенский)和А. Г. 阿連別爾格(Аренберг) 无线电波導管 國家技术出版社 1946
24. Я. Н. 費達(Фельда) 譯自英文 波導管手册 “苏联无线电” 1952
25. С. С. 阿爾希諾夫(Аршинов), С. В. 彼爾松(Персон), А. И. 艾連克利格(Эйленкрайг) 超短波和短波振盪電路的工程計算 “苏联无线电” 1951
26. Я. Н. 費達(Фельда) 譯自英文 厘米波天綫“苏联无线电” 1950
27. Proceedings of the I.R.E 1950年 9月 No.9
28. Д.К. 克拉烏斯(Краус) О. 格拉节爾(Глазер) ДЖ. 勃拉溫(Браун) 和 О. 符德沃尔德(Вудворд) 螺旋形天綫“无线电定位技术問題集” 节譯本第二版 外文书籍出版社 1951
29. Б. А. 雜堅斯基(Введенский)和А. Г. 阿連別爾格(Аренберг) 超短波傳播問題集 1948
30. А. Р. 沃彼爾特(Вольперт)供計算長綫的計算圖 НКЭП生产技术公報 1940, 2期
31. А. Н. 舒金(щукин) 无线电波傳播 通訊出版社 1940
32. А. Ф. 包果莫洛夫(Богомолов) 无线电定向原理 “苏联无线电” 1954

В.М.РОДИОНОВ

СБОРНИК НОМОГРАММ ПО РАДИОТЕХНИКЕ

СОВЕТСКОЕ РАДИО

МОСКВА 1955

内 容 提 要

本書共收集了一百多張無線電工程計算圖表，都是無線電工程中常常用到的，其中包括說明書和圖表各一冊，說明書中共分十章，每章由相關的數節組成，每節用文字說明了相應的計算圖的用法，并有實際例子和必要的理論知識。計算圖上附有繪制該圖的公式，它的用法圖解和計算例題，使用非常方便。

无线电工程計算圖表

★

(苏联) В.М.罗金諾夫著

顧 光 譯

人民郵電出版社出版

北京市書刊出版業營業登記證字第C四八號

人民郵電出版社南京印刷廠印

新華書店發行

★

開本 850×1168 1/14 1957年11月南京第一版
印張 5·6 頁數38 版頁 1 1957年11月南京第一次印製
印字號112千字 版號15015 · 號669·无159
印數1—2,272册 定價：(10).45元

无 线 电 工 程 计 算 图 表

(说 明 书)

苏联 B. M. 罗金诺夫著

顾 国 光 譯

说 明 书

第一版序

最近在工程技术的实际计算中，图表法开始得到愈来愈广泛的应用，按已经确定的公式来计算时，计算图是一种非常简便的计算工具，它能大大地缩短计算时间和迅速地得出在实用上有足够准确度的答数。计算图的主要优点，和计算机相同，是计算迅速，能很快地解出方程式中任一变量的值和改变原数据使得出的答数有所需的单位。为了使用计算图，在一般情况下要阅读说明书，熟悉每张计算图的使用规则，但有时也只要了解一下附在计算图纸上的图解就够了。

可惜将计算图应用到工程实践中去的工作进行得还非常缓慢，推其原因是缺乏足够数量的计算图表汇编和研究图解法的参考书。因此，在很多情况下，计算图只是偶然地零星地落到需要者的手中，因此不能发挥预期的效果。在无线电工程方面，到目前为止，还只有一本计算图表汇编，而且是很早以前（1941年）出版的，因此它不可能包括现代无线电工程中一系列的重要问题，本汇编则在某种程度上能弥补这个缺陷。

编本书的目的是：将无线电工程中最常用的公式制成计算图及整理已出版的计算图。因此就援用了本国和外国的资料，但对所有借用来的计算图都作了必要的修改，俾改善和简化计算图的用法并统一单位，对原文中的谬误亦作了更正，书中部分计算图是作者拟制初次问世的。

限于本书的篇幅，书中仅选择那些最常用的计算图，说明也力求简化。本书共分八章，每章由相关的数节组成，每节有一张或数张与之相应的计算图。为了使用方便各图都分印在活页纸上，每节

的内容包括图的使用规则、计算例题及起碼的必要的理论知識，在每张计算图上附有制成该图的公式，它的用法图解和计算例题。

计算图可当作万用计算工具，但不能机械地搬用而要思考地加以运用，并经常注意待求问题的物理意义和算式中各值的确切变化范围。书中许多图表不能解决已阐述的问题，尚能解决与构成计算图的公式相同的任何其他问题，因此读者只要确定问题的因素和单位，便能广泛地应用这些图表。

本书专供与无线电工程计算有关的学生和工程技术人员使用，希望读者对本书的内容多提出批评和意见，作者必将来衷心感谢。

第二版序

本书第二版补充了无线电工程各领域中的一些新计算图，使包括的计算问题更全面和各节的内容更前后一致。

原收集在第一版中的许多计算图，为了简化和完善起见，这次经过澈底改編，并引进一些新的技术数据。改編工作涉及所有各章，其中有关特高频技术的章节中改动得最多。

在第二版中图表的编排也有某些改变，如第六章《传输线》仅剩下与传输线一般特性有关的计算图，供计算同轴线和二模传输线的材料另成第七章，此外计算天线设备的计算图也单独成为一章，由于这些改变，本书第二版共有十章。

为了使读者能更詳尽地熟悉书中所研究的问题，本版增补了材料出处，根据书末的参考资料名单，能获知材料出处。这本经过改編的说明计算图用法的小册子，虽称不上完善，但能当作无线电工程有关问题的简明手册，为了便于找到需要的材料，在书末附有计算图和制成计算图的公式一览表。

根据使用计算图的工作經驗，应提醒读者，计算图比普通计算

译者序

法在“多次”计算或计算复杂累赘的公式时，具有很显著的优点，但用简单公式计算“一次”时，在一般情况下计算图不会带来预期的好处，反会把问题复杂化，因为在用它前还要花一定的时间去熟悉它，在分解复杂公式时，计算图是非常方便和合适的工具。

H.Ф.索果洛夫在修訂本书第二版时曾提出許多宝贵的意见，作者对此表示感谢。

恳请读者提出自己的意见和要求，通信：莫斯科 邮政总局
П/Я693 苏联无线电出版社。

译者序

自从党和政府号召向科学进军以来，全国各地掀起了学习的热潮，在时代的鼓舞下，思翻譯此书，俾有益于无线电工作者，遂与出版社連系，蒙同意，并寄来电信科学技术研究所根据初版翻譯的譯稿，在翻譯过程中，曾參閱了該譯稿，它对本书的譯成帮助甚大。本书曾先后校对过数遍，书中所有公式尽可能求其出处，例題均加以演算，并与图表核对，发现原书写作粗疏和排版錯誤之处，均一一加以訂正，但由于譯者水平限制，如发现有不恰当的地方，请逕寄人民邮电出版社轉本人，俾再版时更正。

周国光

于北京 1957年6月20日

译者序

第一版序	(前言)	1.1
第二版序	(前言)	1.2
译者序	(前言)	1.3
第一章 辅助计算图		
1.1 实数的乘方(计算图1)	(1)
1.2 倒数(计算图2)	(1)
1.3 实数的自然对数(计算图3)	(1)
1.4 三角函数(计算图4)	(2)
1.5 双曲函数(计算图5)	(2)
1.6 将两数比值化为分贝值(计算图6)	(3)
1.7 复数开平方根(计算图7)	(3)
1.8 将直角坐标系的复数化成极坐标的复数(计算图8)	(4)
1.9 倒复数(计算图9)	(4)
1.10 频率和波长(计算图10)	(4)
第二章 无线电电路的元件		
2.1 导线的电阻(计算图11)	(5)
2.2 电容器的电容(计算图12)	(5)
2.3 单层线圈的电感(计算图13)	(5)
2.4 单层线圈的自身电容(计算图14)	(6)
2.5 多层线圈的计算(计算图15)	(6)
2.6 选绕线圈的计算(计算图16)	(6)
2.7 铁心线圈的电感(计算图17)	(7)
2.8 屏蔽线圈的电感(计算图18)	(8)
2.9 欧姆定律和功率(计算图19)	(8)
2.10 电阻的并联(计算图20)	(9)
2.11 RC电路和RLI电路的时间常数(计算图21和22)	(9)

2.12 并联回路的計算(計算圖23)	(9)
2.13 并联回路失調時的阻抗(計算圖24)	(10)
2.14 回路的溫度补偿(計算圖25)	(10)
2.15 用示波器求回路的品質因數(計算圖26)	(11)
2.16 用示波器求調制度(計算圖27)	(11)
2.17 小功率電源變壓器的計算(計算圖28)	(11)
2.18 整流濾波器的計算(計算圖29)	(12)
2.19 小功率整流器的計算(計算圖30)	(13)
2.20 充氣管變壓器的計算(計算圖31和32)	(14)
2.21 收音放大電子管的參數(計算圖33)	(15)
第三章 无源四端网络		
3.1 具有最小衰減的四端网络(計算圖34)	(15)
3.2 T型和H型衰減器的計算(計算圖35)	(15)
3.3 計算由L、C、R組成的線性電路(計算圖36和37)	(16)
3.4 電氣濾波器的計算.....		(18)
3.5 移相網絡(計算圖38)	(21)
3.6 最簡單的移相器(計算圖39)	(21)
3.7 移相振盪器(計算圖40)	(22)
第四章 收信放大器的电路		
4.1 計算設置為電容耦合的低頻放大器(計算圖41、42和43)	(22)
4.2 回授放大器和阴极輸出器(計算圖44和45)	(24)
4.3 阴极輸出器的輸出阻抗及其通帶(計算圖46)	(25)
4.4 視頻放大器內校正扼流圈的計算(計算圖47和48)	(26)
4.5 視頻放大器內耦合電路的計算(計算圖49)	(27)
4.6 多級中頻放大器的計算(計算圖50、51、52和53)	(27)
4.7 選擇供寬頻帶放大器用的五極管(計算圖54)	(30)
4.8 超外差接收機中回路的統調(計算圖55)	(30)
4.9 混頻管內的組合頻率.....		(31)
4.10 RC并联回路的熱噪聲(計算圖56)	(32)

4.11 四端网络的噪声系数(计算图57)	(32)	7.8 负荷为电容的传输线(计算图87)	(50)																																																									
4.12 串联四端网络的噪声系数(计算图58)	(33)	第八章 波导管和空腔谐振器																																																										
第五章 脉冲电路																																																												
5.1 仿真长线的计算(计算图59)	(34)	8.1 矩形波导管内 E_{mn} 和 H_{mn} 型波的截止波长(计算图88)	(51)																																																									
5.2 计算由谐振电路并联成的脉冲形成电路(计算图60)	(34)	8.2 圆形波导管的截止波长(计算图89)	(52)																																																									
5.3 计算由反谐振电路串联成的脉冲形成电路(计算图61)	(35)	8.3 波导管内电磁波的波长(计算图90)	(52)																																																									
5.4 微分脉冲(计算图62和63)	(35)	8.4 铜质矩形波导管内 H_{01} 型波的衰减(计算图91)	(52)																																																									
5.5 多谐振荡器的计算(计算图64)	(37)	8.5 截面匀变的波导接头(计算图92)	(53)																																																									
5.6 差波变压器的计算(计算图65)	(38)	8.6 截止衰减器(计算图93)	(54)																																																									
5.7 脉冲变压器的计算(计算图66和67)	(38)	8.7 矩形空腔谐振器的计算(计算图94)	(54)																																																									
5.8 脉冲滤波器的通带及其效率(计算图68)	(40)	8.8 圆柱形空腔谐振器的计算(计算图95)	(55)																																																									
第六章 传输线概论																																																												
6.1 传输线的电气长度(计算图69)	(40)	8.9 环形空腔谐振器的计算(计算图96)	(55)																																																									
6.2 电流相位沿传输线的变化(计算图70)	(41)	第九章 天线设备																																																										
6.3 沃勒彼尔特圆图(计算图71)	(41)	9.1 厘米波天线的计算(计算图97、98和99)	(56)	6.4 传输线的损耗引起行波系数的变化(计算图72)	(44)	9.2 振子天线的计算(计算图100和101)	(57)	6.5 传输线失准时的效率(计算图73)	(44)	9.3 螺旋形天线的计算(计算图102)	(59)	6.6 四分之一波长匹配变压器(计算图74和75)	(45)	第十章 无线电波的传播和雷达技术			6.7 匹配短路的计算(计算图76)	(45)	10.1 离发射机某一距离处超短波的电场强度(计算图103)	(60)	6.8 金属中的集肤效应(计算图77)	(46)	10.2 受电离层反射时短波的传播(计算图104)	(60)	6.9 串联衰减器的衰耗(计算图78)	(46)	10.3 斯涅耳第一镜射区的半径(计算图105)	(61)	第七章 同轴传输线和双绞传输线				7.1 传输线的特性阻抗(计算图79和80)	(47)	10.4 超短波的衰减(计算图106)	(61)	7.2 高频电缆的电气特性(计算图81)	(48)	10.5 超短波的视距距离(计算图107)	(62)	7.3 空气同轴线的绝缘强度(计算图82)	(49)	10.6 地面对雷达天线方向图的影响(计算图108)	(62)	7.4 同轴线的电阻(计算图83)	(49)	10.7 雷达的作用距离(计算图109)	(63)	7.5 将传输线的损耗由阻抗算成衰耗(计算图84)	(49)	10.8 雷达的脉冲功率(计算图110)	(63)	7.6 电流谐振时线段的输入阻抗(计算图85)	(50)	10.9 雷达天线旋转一周投射在目标上的脉冲数(计算图111)	(64)	7.7 同轴电路的品质因数(计算图86)	(50)	10.10 雷达中漫摆都卜勒原理产生的拍频(计算图112)	(64)
9.1 厘米波天线的计算(计算图97、98和99)	(56)																																																											
6.4 传输线的损耗引起行波系数的变化(计算图72)	(44)	9.2 振子天线的计算(计算图100和101)	(57)	6.5 传输线失准时的效率(计算图73)	(44)	9.3 螺旋形天线的计算(计算图102)	(59)	6.6 四分之一波长匹配变压器(计算图74和75)	(45)	第十章 无线电波的传播和雷达技术			6.7 匹配短路的计算(计算图76)	(45)	10.1 离发射机某一距离处超短波的电场强度(计算图103)	(60)	6.8 金属中的集肤效应(计算图77)	(46)	10.2 受电离层反射时短波的传播(计算图104)	(60)	6.9 串联衰减器的衰耗(计算图78)	(46)	10.3 斯涅耳第一镜射区的半径(计算图105)	(61)	第七章 同轴传输线和双绞传输线				7.1 传输线的特性阻抗(计算图79和80)	(47)	10.4 超短波的衰减(计算图106)	(61)	7.2 高频电缆的电气特性(计算图81)	(48)	10.5 超短波的视距距离(计算图107)	(62)	7.3 空气同轴线的绝缘强度(计算图82)	(49)	10.6 地面对雷达天线方向图的影响(计算图108)	(62)	7.4 同轴线的电阻(计算图83)	(49)	10.7 雷达的作用距离(计算图109)	(63)	7.5 将传输线的损耗由阻抗算成衰耗(计算图84)	(49)	10.8 雷达的脉冲功率(计算图110)	(63)	7.6 电流谐振时线段的输入阻抗(计算图85)	(50)	10.9 雷达天线旋转一周投射在目标上的脉冲数(计算图111)	(64)	7.7 同轴电路的品质因数(计算图86)	(50)	10.10 雷达中漫摆都卜勒原理产生的拍频(计算图112)	(64)				
9.2 振子天线的计算(计算图100和101)	(57)																																																											
6.5 传输线失准时的效率(计算图73)	(44)	9.3 螺旋形天线的计算(计算图102)	(59)	6.6 四分之一波长匹配变压器(计算图74和75)	(45)	第十章 无线电波的传播和雷达技术			6.7 匹配短路的计算(计算图76)	(45)	10.1 离发射机某一距离处超短波的电场强度(计算图103)	(60)	6.8 金属中的集肤效应(计算图77)	(46)	10.2 受电离层反射时短波的传播(计算图104)	(60)	6.9 串联衰减器的衰耗(计算图78)	(46)	10.3 斯涅耳第一镜射区的半径(计算图105)	(61)	第七章 同轴传输线和双绞传输线				7.1 传输线的特性阻抗(计算图79和80)	(47)	10.4 超短波的衰减(计算图106)	(61)	7.2 高频电缆的电气特性(计算图81)	(48)	10.5 超短波的视距距离(计算图107)	(62)	7.3 空气同轴线的绝缘强度(计算图82)	(49)	10.6 地面对雷达天线方向图的影响(计算图108)	(62)	7.4 同轴线的电阻(计算图83)	(49)	10.7 雷达的作用距离(计算图109)	(63)	7.5 将传输线的损耗由阻抗算成衰耗(计算图84)	(49)	10.8 雷达的脉冲功率(计算图110)	(63)	7.6 电流谐振时线段的输入阻抗(计算图85)	(50)	10.9 雷达天线旋转一周投射在目标上的脉冲数(计算图111)	(64)	7.7 同轴电路的品质因数(计算图86)	(50)	10.10 雷达中漫摆都卜勒原理产生的拍频(计算图112)	(64)								
9.3 螺旋形天线的计算(计算图102)	(59)																																																											
6.6 四分之一波长匹配变压器(计算图74和75)	(45)	第十章 无线电波的传播和雷达技术																																																										
6.7 匹配短路的计算(计算图76)	(45)	10.1 离发射机某一距离处超短波的电场强度(计算图103)	(60)	6.8 金属中的集肤效应(计算图77)	(46)	10.2 受电离层反射时短波的传播(计算图104)	(60)	6.9 串联衰减器的衰耗(计算图78)	(46)	10.3 斯涅耳第一镜射区的半径(计算图105)	(61)	第七章 同轴传输线和双绞传输线				7.1 传输线的特性阻抗(计算图79和80)	(47)	10.4 超短波的衰减(计算图106)	(61)	7.2 高频电缆的电气特性(计算图81)	(48)	10.5 超短波的视距距离(计算图107)	(62)	7.3 空气同轴线的绝缘强度(计算图82)	(49)	10.6 地面对雷达天线方向图的影响(计算图108)	(62)	7.4 同轴线的电阻(计算图83)	(49)	10.7 雷达的作用距离(计算图109)	(63)	7.5 将传输线的损耗由阻抗算成衰耗(计算图84)	(49)	10.8 雷达的脉冲功率(计算图110)	(63)	7.6 电流谐振时线段的输入阻抗(计算图85)	(50)	10.9 雷达天线旋转一周投射在目标上的脉冲数(计算图111)	(64)	7.7 同轴电路的品质因数(计算图86)	(50)	10.10 雷达中漫摆都卜勒原理产生的拍频(计算图112)	(64)																	
10.1 离发射机某一距离处超短波的电场强度(计算图103)	(60)																																																											
6.8 金属中的集肤效应(计算图77)	(46)	10.2 受电离层反射时短波的传播(计算图104)	(60)	6.9 串联衰减器的衰耗(计算图78)	(46)	10.3 斯涅耳第一镜射区的半径(计算图105)	(61)	第七章 同轴传输线和双绞传输线				7.1 传输线的特性阻抗(计算图79和80)	(47)	10.4 超短波的衰减(计算图106)	(61)	7.2 高频电缆的电气特性(计算图81)	(48)	10.5 超短波的视距距离(计算图107)	(62)	7.3 空气同轴线的绝缘强度(计算图82)	(49)	10.6 地面对雷达天线方向图的影响(计算图108)	(62)	7.4 同轴线的电阻(计算图83)	(49)	10.7 雷达的作用距离(计算图109)	(63)	7.5 将传输线的损耗由阻抗算成衰耗(计算图84)	(49)	10.8 雷达的脉冲功率(计算图110)	(63)	7.6 电流谐振时线段的输入阻抗(计算图85)	(50)	10.9 雷达天线旋转一周投射在目标上的脉冲数(计算图111)	(64)	7.7 同轴电路的品质因数(计算图86)	(50)	10.10 雷达中漫摆都卜勒原理产生的拍频(计算图112)	(64)																					
10.2 受电离层反射时短波的传播(计算图104)	(60)																																																											
6.9 串联衰减器的衰耗(计算图78)	(46)	10.3 斯涅耳第一镜射区的半径(计算图105)	(61)	第七章 同轴传输线和双绞传输线				7.1 传输线的特性阻抗(计算图79和80)	(47)	10.4 超短波的衰减(计算图106)	(61)	7.2 高频电缆的电气特性(计算图81)	(48)	10.5 超短波的视距距离(计算图107)	(62)	7.3 空气同轴线的绝缘强度(计算图82)	(49)	10.6 地面对雷达天线方向图的影响(计算图108)	(62)	7.4 同轴线的电阻(计算图83)	(49)	10.7 雷达的作用距离(计算图109)	(63)	7.5 将传输线的损耗由阻抗算成衰耗(计算图84)	(49)	10.8 雷达的脉冲功率(计算图110)	(63)	7.6 电流谐振时线段的输入阻抗(计算图85)	(50)	10.9 雷达天线旋转一周投射在目标上的脉冲数(计算图111)	(64)	7.7 同轴电路的品质因数(计算图86)	(50)	10.10 雷达中漫摆都卜勒原理产生的拍频(计算图112)	(64)																									
10.3 斯涅耳第一镜射区的半径(计算图105)	(61)																																																											
第七章 同轴传输线和双绞传输线																																																												
7.1 传输线的特性阻抗(计算图79和80)	(47)	10.4 超短波的衰减(计算图106)	(61)	7.2 高频电缆的电气特性(计算图81)	(48)	10.5 超短波的视距距离(计算图107)	(62)	7.3 空气同轴线的绝缘强度(计算图82)	(49)	10.6 地面对雷达天线方向图的影响(计算图108)	(62)	7.4 同轴线的电阻(计算图83)	(49)	10.7 雷达的作用距离(计算图109)	(63)	7.5 将传输线的损耗由阻抗算成衰耗(计算图84)	(49)	10.8 雷达的脉冲功率(计算图110)	(63)	7.6 电流谐振时线段的输入阻抗(计算图85)	(50)	10.9 雷达天线旋转一周投射在目标上的脉冲数(计算图111)	(64)	7.7 同轴电路的品质因数(计算图86)	(50)	10.10 雷达中漫摆都卜勒原理产生的拍频(计算图112)	(64)																																	
10.4 超短波的衰减(计算图106)	(61)																																																											
7.2 高频电缆的电气特性(计算图81)	(48)	10.5 超短波的视距距离(计算图107)	(62)	7.3 空气同轴线的绝缘强度(计算图82)	(49)	10.6 地面对雷达天线方向图的影响(计算图108)	(62)	7.4 同轴线的电阻(计算图83)	(49)	10.7 雷达的作用距离(计算图109)	(63)	7.5 将传输线的损耗由阻抗算成衰耗(计算图84)	(49)	10.8 雷达的脉冲功率(计算图110)	(63)	7.6 电流谐振时线段的输入阻抗(计算图85)	(50)	10.9 雷达天线旋转一周投射在目标上的脉冲数(计算图111)	(64)	7.7 同轴电路的品质因数(计算图86)	(50)	10.10 雷达中漫摆都卜勒原理产生的拍频(计算图112)	(64)																																					
10.5 超短波的视距距离(计算图107)	(62)																																																											
7.3 空气同轴线的绝缘强度(计算图82)	(49)	10.6 地面对雷达天线方向图的影响(计算图108)	(62)	7.4 同轴线的电阻(计算图83)	(49)	10.7 雷达的作用距离(计算图109)	(63)	7.5 将传输线的损耗由阻抗算成衰耗(计算图84)	(49)	10.8 雷达的脉冲功率(计算图110)	(63)	7.6 电流谐振时线段的输入阻抗(计算图85)	(50)	10.9 雷达天线旋转一周投射在目标上的脉冲数(计算图111)	(64)	7.7 同轴电路的品质因数(计算图86)	(50)	10.10 雷达中漫摆都卜勒原理产生的拍频(计算图112)	(64)																																									
10.6 地面对雷达天线方向图的影响(计算图108)	(62)																																																											
7.4 同轴线的电阻(计算图83)	(49)	10.7 雷达的作用距离(计算图109)	(63)	7.5 将传输线的损耗由阻抗算成衰耗(计算图84)	(49)	10.8 雷达的脉冲功率(计算图110)	(63)	7.6 电流谐振时线段的输入阻抗(计算图85)	(50)	10.9 雷达天线旋转一周投射在目标上的脉冲数(计算图111)	(64)	7.7 同轴电路的品质因数(计算图86)	(50)	10.10 雷达中漫摆都卜勒原理产生的拍频(计算图112)	(64)																																													
10.7 雷达的作用距离(计算图109)	(63)																																																											
7.5 将传输线的损耗由阻抗算成衰耗(计算图84)	(49)	10.8 雷达的脉冲功率(计算图110)	(63)	7.6 电流谐振时线段的输入阻抗(计算图85)	(50)	10.9 雷达天线旋转一周投射在目标上的脉冲数(计算图111)	(64)	7.7 同轴电路的品质因数(计算图86)	(50)	10.10 雷达中漫摆都卜勒原理产生的拍频(计算图112)	(64)																																																	
10.8 雷达的脉冲功率(计算图110)	(63)																																																											
7.6 电流谐振时线段的输入阻抗(计算图85)	(50)	10.9 雷达天线旋转一周投射在目标上的脉冲数(计算图111)	(64)	7.7 同轴电路的品质因数(计算图86)	(50)	10.10 雷达中漫摆都卜勒原理产生的拍频(计算图112)	(64)																																																					
10.9 雷达天线旋转一周投射在目标上的脉冲数(计算图111)	(64)																																																											
7.7 同轴电路的品质因数(计算图86)	(50)	10.10 雷达中漫摆都卜勒原理产生的拍频(计算图112)	(64)																																																									
10.10 雷达中漫摆都卜勒原理产生的拍频(计算图112)	(64)																																																											

計算圖和制成計算圖的公式一覽表
參考資料

已知: $x=1.73$ 求 y 例 1
答数: $y=0.437$

已知: $x=1.73$ 求 y 例 2
答数: $y=-0.437$

已知: $x=0.417$ 求 y 例 3
答数: $y=-0.823$

已知: $x=2.054$ 求 y 例 4
答数: $y=2.054$

已知: $x=0.2$ 求 y 例 5
答数: $y=1.02$

已知: $x=2$ 求 y 例 6
答数: $y=-8$

1.1 实数的乘方

本图表示关系式

$$z = x^y \quad (1.1)$$

为了便于计算和提高准确度, 本图分成两部分, 图的左边部分适用于所有 $|y| < 1$ 的值, 右边部分适用于 $15 > |y| > 1$ 。欲求 z , 可参照 y 值, 在弧形曲线尺的两边上标出已知值 x 和 y , 经过这两点作直线, 这直线和中间尺的交点便是 z 值。本图亦可用来作相反的推算。

应用此表时, 应注意下列情况: 如 y 是正值(+), 则 z 尺的左侧刻度(II)对应于 x 尺的左侧刻度(II), z 尺的右侧刻度(I)对应于 x 尺的右侧刻度(I); 如 y 是负值(-), 则相反; z 尺的右侧刻度(I)对应于 x 尺的左侧刻度(II), z 尺的左侧刻度(II)对应于 x 尺的右侧刻度(I)。

例 1 (左边图)

已知: $x = 3.73$, $y = 0.437$ 。

答数: $z = 1.778$ 。

例 2 (左边图)

已知: $x = 3.73$, $y = -0.437$ 。

答数: $z = 0.563$ 。

例 3 (左边图)

已知: $x = 0.417$, $y = -0.823$ 。

答数: $z = 2.054$ 。

计算图 1

已知: $x = 5$, $y = 10$ 。
答数: $z = 9.8 \times 10^6$ 。

已知: $x = 0.2$, $y = 10$ 。
答数: $z = 1.02 \times 10^{-7}$ 。

已知: $x = 2$, $y = -8$ 。
答数: $z = 4 \times 10^{-3}$ 。

计算图 2

1.2 倒 数

用本图可求已知数的倒数

$$a = \frac{1}{b} \quad (1.2)$$

其准确度达到四位有效数。求倒数时, 应将已知数写成 $b \times 10^n$ 的形式, 使 b 能在图上标出, 此时, 倒数的形式将为 $a \times 10^{-n}$ 。

例 1

已知: $b = 7.6$ 。

答数: $a = 0.1316$ 。

例 2

已知: $b = 24600 = 2.46 \times 10^4$ 。

答数: $a = \frac{1}{b} = 0.406 \times 10^{-4} = 0.0000406$ 。

计算图 3

1.3 实数的自然对数

用本图可求 0—10 范围内各实数的自然对数

$$b = \ln a \quad (1.3)$$

為了使答數的準確度達到 0.1% ，上述的數值範圍被截成8段，分放在8根尺上，已知值处在尺的上邊，在已知值的下面便是自然對數值。

若已知值超出尺的刻度範圍，則應將已知值寫成 $a \times 10^{\pm n}$ 的形式，使 a 能在尺上標出，此時

$$b = \ln(a \times 10^{\pm n}) = \ln a \pm \ln 10^{\pm n}.$$

為了計算方便，在圖上附有數的形式為 10^n 的自然對數表。

例 1

$$a = 2.7; \quad b = \ln 2.7 = 0.993.$$

例 2

$$\begin{aligned} a &= 43500 = 4.35 \times 10^4; \quad b = \ln 4.35 + \ln 10^4 = 1.469 + 9.210 \\ &= 10.679. \end{aligned}$$

例 3

$$a = 0.03 = 3 \times 10^{-2}; \quad b = \ln 3 - \ln 10^2 = 1.099 - 4.605 = -3.506.$$

計算圖 4

1.4 三角函數

本圖包括幅角 φ 自 0 至 90° 範圍內三角函數 $\sin \varphi$ 、 $\cos \varphi$ 、 $\tan \varphi$ 的值。為了使用方便和提高計算結果的準確度，本圖由8根尺組成；已知幅角值刻在相當尺的左側，在該尺的右側便是三角函數值。

用第1、2兩尺可把角度化成弧度，在這兩尺的左旁，幅角 φ 以度為單位，而右旁則以弧度為單位，第一尺包括自 0 至 45° 範圍內各幅角的值，第二尺包括自 45° 至 90° 範圍內各幅角的值。

例 1

$$\varphi = 25^\circ; \quad \sin \varphi = 0.422(\text{第3尺});$$

$$\cos \varphi = 0.905(\text{第4尺});$$

$$\tan \varphi = 0.466(\text{第6尺}).$$

例 2

幅角 $\varphi = 60^\circ$ ；從第7尺求得 $\tan \varphi = 1.73$ 。

例 3

幅角 $\varphi = 88^\circ 30'$ ；從第8尺求得 $\tan \varphi = 38$ 。

例 4

$\varphi = 25^\circ$ ；從第1尺求得 $\varphi = 0.436$ 弧度。

計算圖 5

1.5 双曲綫函數

本圖包括四根求双曲綫函數值的尺，其使用範圍如下：當幅角在 0 至 5 範圍內時，可求 $\sinh x$ 和 $\cosh x$ 的值，當幅角在 0 至 2.5 範圍內時，可求 $\tanh x$ 的值。

幅角值 x 在 0 至 2.5 範圍內時，用尺1可求該幅角的正弦双曲綫值

$$\sinh x = \frac{e^x - e^{-x}}{2}; \quad (1.4)$$

用尺2可求該幅角的余弦双曲綫值

$$\cosh x = \frac{e^x + e^{-x}}{2}; \quad (1.5)$$

用尺3可求該幅角的正切双曲綫值

$$\tanh x = \frac{1 - e^{-2x}}{1 + e^{-2x}}. \quad (1.6)$$

如果 x 值超過 2.5 ，則

$$\sinh x \approx \cosh x,$$

用尺2可求這二函數值。

用計算圖5亦可求反双曲綫函數的值。

例 1

$$x = 1.55; \quad \sinh x = 2.25; \quad \cosh x = 2.46.$$

例 2

$$x = 4.6; \quad \sinh x \approx \sinh 4.6 = 49.7.$$

例 3

$$x = 1.25; \quad \tanh x = 0.848.$$

計算圖 6

1.6 將兩數比值化為分貝值

用計算圖 6 可將功率比、電壓（電流）比和電壓增益系數（或衰減系數）化為分貝值：

$$N_{\text{分貝}} = 10 \lg \frac{P_2}{P_1}; \quad N_{\text{分貝}} = 20 \lg \frac{U_2}{U_1}; \quad N_{\text{分貝}} = 20 \lg K. \quad (1.7)$$

此處： P_1, P_2 ——功率； U_1, U_2 ——電壓； $K = \frac{U_2}{U_1}$ ——電壓增益系數或電壓衰減系數。

在圖上左右兩根靠邊的尺上，參照尺上的符號，標出已知電壓或功率值，作直線連接之，此直線和中間尺的交點的右邊讀數是分貝值，左邊讀數是增益系數或衰減系數 $K = \frac{U_2}{U_1}$ 。如果電壓值或功

將比值化為分貝時應附加的值 表 1.1

取出因子	用分貝表示功率比時應附加的分貝數	用分貝表示增益系數或衰減系數和電壓比時應附加的分貝數
10	10	20
10^2	20	40
10^3	30	60
10^4	40	80
10^5	50	100
10^6	60	120
10^7	70	140
10^8	80	160

率值均超出尺的刻度範圍，則約去公因子。如果僅有一個值不能在相應的尺上標出，則自此值中取出因子 10^n ，然後在尺上標出之，此時所得的答數應加以修正；若取分貝數，應加上表 1.1 所列的值，若取增益系數，則應乘上以前取出的因子。

例：

放大器的輸入電壓 $U_1 = 8$ 毫伏，輸出電壓 $U_2 = 60$ 伏 = 60×10^3 毫伏；試求增益系數並用分貝數表示之。

在二邊尺上標出 8 和 60，得增益系數 $K = 7.5 \times 10^3 = 7500$ ；並從圖得 N_1 等於 17.3 分貝，從表 1.1 查得相當於因子 10^3 的 N_2 等於 60 分貝，因此增益系數的分貝值等於 $17.3 + 60 = 77.3$ 分貝。

計算圖 7

1.7 复數開平方根

用本圖能求復數 $s = a + jb$ 的平方根，根式如下：

$$\sqrt{s} = x + jy. \quad (1.8)$$

計算時，先求出比值 $k = \frac{a}{b}$ ，并在計算圖下邊的橫坐標軸上標出，再在左邊縱坐標軸上標出 b 值，得出這二直角坐标的交點；從通過這交點的傾斜線即可讀出 x 和 y 值。用本圖計算時，必須按照複數的運算規則考慮複數的符號，今用下面的例子來說明本圖的用法：

$$1) \quad s = a + jb = 15 + j20. \quad k = \frac{15}{20} = 0.75; \quad b = 20.$$

$$\text{在交點處} \quad x = 4.46, \quad y = 2.25,$$

$$\text{因此} \quad \sqrt{s} = \pm(4.46 + j2.25).$$

$$2) \quad \text{已知:} \quad s = -15 + j20. \quad k = 0.75; \quad b = 20.$$

$$\text{求得:} \quad \sqrt{s} = \pm(2.25 + j4.46).$$

$$3) \quad \text{已知:} \quad s = -15 - j20. \quad k = 0.75; \quad b = 20.$$

求得: $\sqrt{s} = \pm(2.25 - i4.46)$ 。

4) 已知: $s = 15 - i20$, $k = 0.75$; $b = 20$ 。

求得: $\sqrt{s} = \pm(4.46 - i2.25)$ 。

如果被开根的已知复数的坐标值超出了曲线图的尺度范围, 则应自这复数中取出因子 $10^{\pm 2n}$, 使剩下的复数能在图上定出, 从图求得的方根值, 应再乘以因子 $10^{\pm n}$, 才是答案。

計算圖 8

1.8 將直角坐标的复数化成極坐标的复数

用本图能迅速地将复数自代数形式

$$w = x + iy \quad (1.9)$$

化为三角形式:

$$w = |w| (\cos \varphi + j \sin \varphi) \quad (1.10)$$

或极坐标形式

$$w = |w| e^{j\varphi}.$$

換算时, 在曲线上定出与已知复数的实数部分 x 和虚数部分 y 相当的坐标点 x 和 y , 由此得出相当于此值的极坐标值: 从曲线上得模数 $|w|$; 从斜线上得幅角 φ (以度为单位)。

例:

复数 $w = 3 + i4$ ($x = 3$; $y = 4$) 的极坐标为: $|w| = 5$ 和 $\varphi = 53^\circ$ 。

計算圖 9

1.9 倒复数

用計算圖 9 能求出复数的倒数

$$u = a + jb = \frac{1}{x + iy} \quad (1.11)$$

求时, 在直角坐标面上定出已知复数值 $u = a + jb$ (在頂尺上标出 a , 在右边尺上标出 b), 在同图的曲线坐标系中便得坐标点 x , y (在左边尺上读 y , 在底尺上读 x)。由此得出已知复数的倒复数 $u^{-1} = x + iy$; 这时, 虚数 y 的符号应与 b 的符号相反。

例:

复数 $u = 3 + i4$; 它的倒复数 $u^{-1} = 0.12 - j0.16$ 。

如果 $\frac{a}{b} < 0.1$ 或 $\frac{a}{b} > 10$, 则可用下面的近似式求倒复数:

$$u = a + jb; u^{-1} = (a + jb)^{-1} = \left(\frac{a}{b^2} - j \frac{1}{b} \right). \quad \text{譯註}$$

如果 a 和 b 的值超出了本图的范围, 则可提出公因子 10^n , 使剩下的值能在图上标出, 所得的结果再除以公因子便是答案。

計算圖 10

1.10 頻率和波長

用計算圖 10 可从已知頻率 f 求波長 λ

$$\lambda = \frac{c}{f}, \quad (1.12)$$

此处 $c = 3 \times 10^8$ 米/秒——光速。

图上頻率 f 的范围自 1 兆赫至 300 兆赫 (即波长 λ 从 300 米至 1 米), 但借图上的附表, 可求出頻率范围自 30 千赫至 100000 兆赫

$$\text{譯註 } u^{-1} = \frac{1}{a + jb} = \frac{a - jb}{a^2 + b^2} = \frac{a}{a^2 + b^2} - j \frac{b}{a^2 + b^2};$$

$$\text{若 } \frac{a}{b} < 0.1, \text{ 則近似式为 } u^{-1} = \frac{a}{b^2} - j \frac{1}{b}.$$

$$\text{若 } \frac{a}{b} > 10, \text{ 則近似式为 } u^{-1} = \frac{1}{a} - j \frac{b}{a^2}.$$

内相应的波长值 (λ 自10000米至0.3厘米)。

例 1

频率 $f = 41.6$ 兆赫，与它相当的波长 $\lambda = 7.2$ 米。

例 2

已知频率 $f = 150$ 千赫，试求波长。从图和附表得 $\lambda = 2000$ 米。

第二章 无线电电路的元件

计算图11

2.1 导线的电阻 [1]

计算图11是根据下列计算导线电阻的公式制成的：

$$R = \frac{4\rho l}{\pi d^2} \quad (2.1)$$

欲求铜线的电阻，可在相当尺上标出： d —以毫米为单位的裸导线的直径和 l —以来为单位的导线的长，作直线连结这两点，在 R 铜尺上便得出以欧为单位的铜线的电阻值。若导线是由其他材料制成的，则尚需在 ρ 尺上标出该导线的电阻率 ρ ，然后经过此点和 R 铜尺上的点引直线，延长此线与 R 尺相交，交点的读数才是导线的电阻。

例：

试求直径 $d = 0.1$ 毫米和长 $l = 20$ 米的铁线的电阻。

在 d 尺和 l 尺上标出已知值，并在 ρ 尺上标出铁的电阻率 $\rho = 0.092 \frac{\text{欧}\cdot\text{毫米}^2}{\text{米}}$ 。在 R 尺上便读得电阻值等于235欧。

计算图12

2.2 电容器的电容 [1]

由两平行板片组成中间充以介质的电容器，其电容量可根据下面的公式

$$C = \frac{Se}{4\pi d} \quad (2.2)$$

求得。此处： S —电容器极片的面积， d —极片间的距离， e —极片间介质的介电常数。

在图中任意三根尺上标出已知值，在第四根尺上便得答案。经过 C 尺和 d 尺上的点引的直线与经过 e 尺和 S 尺上的点引的直线交于同一点。

例：

试求空气电容器 ($e = 1$) 极片的面积。已知此电容器的电容量 $C = 200$ 微微法，板片相隔的距离 $d = 0.5$ 毫米。

在相当尺上标出 $C = 200$ 微微法和 $d = 0.5$ 毫米的点，经过这两点引直线 1，延长之与辅助尺相交，再经过交点和左端尺 $e = 1$ 的点引直线 2，在 S 尺上截出电容器一块极片的面积值 $S = 115$ 厘米²。

计算图13

2.3 单层线圈的电感 [2]

欲求单层密绕线圈的电感，必须知道线圈的直径 D 、长度 l 以及在这长度中的匝数 N 。如允许的误差为 2—5%，则可不考虑匝距对线圈电感的影响。本图是根据下面的近似公式

$$L = \frac{0.01DN^2}{\frac{l}{D} + 0.44} \quad (2.3)$$

制成的。当线圈的长度不超过它直径的 5~6 倍时，可保证得到上述的准确度。

使用本图时，应按下法进行：在D尺上标出线圈的直径值，在 $\frac{1}{D}$ 尺上标出线圈的长度对直径的比值，经过这两点作直线，此直线在辅助尺上截出一点；再在N尺上标出所用匝数的点，经过此点和辅助尺上的点作直线，此直线在L尺上便截出线圈的电感值。

例：

线圈的直径为6厘米，长度为4厘米，在这长度上绕着210匝，试求线圈的电感。先算出比值 $\frac{1}{D} = 0.667$ ，然后由图求得 $L = 2400$ 微亨。

计算图14

2.4 单层线圈的自身电容[2]

本图根据下面的公式

$$C_0 = \frac{\pi D}{3.6 \operatorname{arc} \operatorname{ch} \frac{t}{d}} \quad (2.4)$$

制成的。此处：D—线圈的直径，厘米；t—线圈的匝距，毫米；d—导线的直径，毫米； C_0 —线圈的自身电容，微微法。

本图的用法如下：在D尺和 $\frac{t}{d}$ 尺上分别标出线圈的直径值和线圈的匝距对导线直径的比值，经过这两点作直线，此直线和 C_0 尺的交点就是线圈的自身电容值。

应该注意，当比值 $\frac{t}{d} < 1.2$ 时，导线的绝缘就有影响，它使自身电容值比计算所得的大；对于大直径的线圈，如果线圈架上刻有槽纹，严格的说，线圈架的材料同样有影响。

例：

已知线圈的直径 $D = 60$ 毫米，线圈用直径 $d = 2$ 毫米的裸导线绕成，它的匝距 $t = 3$ 毫米，试求线圈的自身电容。

答数： $\frac{t}{d} = 1.5$ ； $C_0 = 5.4$ 微微法。

计算图15

2.5 多层线圈的计算[2]

本图给出多层线圈的尺寸、匝数和电感间的关系，它是根据下面的经验公式

$$L = \frac{0.08 D^2 N^2}{3D + 9b + 10c} \quad (2.5)$$

制成的。此处：D—线圈的平均直径，厘米；b—线圈的宽度，厘米；c—线圈的厚度，厘米；L—线圈的电感，微亨。

今用下例来说明本图的用法：多层线圈的匝数为500，平均直径为25毫米，宽度及厚度各为12.5毫米，试求此线圈的电感。

在曲线图的横坐标轴上标出线圈的平均直径值 $D = 25$ 毫米，在b尺上标出线圈的宽度值 $b = 12.5$ 毫米，经过这两点作直线，延长此直线与下面的辅助尺相交。经过交点和“线圈厚度”的尺上 $c = 12.5$ 毫米的点作直线，延长之与曲线图的横坐标轴（“平均直径”尺）相交。从交点向上作垂线与曲线图上的曲线相交，从曲线上得到的点引水平线与曲线图的右界线相交。在最右边的垂直尺上标出线圈的平均直径值 $D = 25$ 毫米，经过此点和曲线图右界线上的点作直线，此直线截垂直辅助尺于某点。在N尺上标出线圈的已知匝数 $N = 500$ ，经过此点和垂直辅助尺上的点作直线，延长之与L尺相交，交点的读数即答数 $L = 4000$ 微亨。

计算图16

2.6 迭绕线圈的计算[2]

绕制变压器、扼流圈、电磁线圈时，往往要先确定导线迭绕时线圈的匝数、导线的长度以及线圈的直流电阻。本图是根据下列几个已知公式：

$$V = I_{\text{平均}} S_M, \quad (2.6)$$

$$N = S_M N_S, \quad (2.7)$$

$$l = \frac{V}{100} N_S, \text{ 註} \quad (2.8)$$

$$R = R_V V, \quad (2.9)$$

及根据绝缘不同的各种直径的皮复铜线在苏联标准规格中规定的的数据绘成的。图中这些数据^{*}以曲线图的形式表示，数据间的关系如下：

$$N_S = f(\Xi, d), \quad (2.10)$$

$$R_V = \varphi(\Xi, d). \quad (2.11)$$

此处： N —一匝线圈的匝数； $l_{\text{平均}}$ —导线绕一匝的平均长度，厘米； N_S —单位截面积上的匝数，匝数/厘米²； S_M —线圈的截面积，厘米²； l —所用导线的总长度，米； V —线圈的体积，厘米³； d —不计绝缘时导线的直径，毫米； Ξ —导线的种类（漆包线、单丝包线、双丝包线、单纱包线、双纱包线）； R_V —单位体积内导线的电阻，欧/厘米³； R —线圈的直流电阻，欧。

本图的用法可用下列说明之。

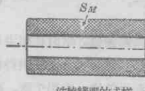
例：

已知线圈的截面积 $S_M = 3$ 厘米²，每匝的平均长度 $l_{\text{平均}} = 12$ 厘米，所用漆包线的直径 $d = 0.1$ 毫米；试求此线圈的匝数、导线的长度以及线圈的直流电阻。

在本图左边的曲线图上找出标有“漆包线”字样的曲线，在曲线

*

苏联标准规格4123



公式的由来·可参阅左图

$$l = \frac{l_{\text{平均}}}{100} \cdot N$$

将(2.6) (2.8)式代入得

$$l = \frac{V}{S_M} \cdot S_M N_S = \frac{V}{100} \cdot N_S$$

图的左斜尺上标出 $d = 0.1$ 毫米的点，从这点引斜线与“漆包线”曲线相交，从交点引水平线与曲线图的右垂直尺相交，交点的读数便是 1 厘米² 截面上的匝数 $N_S = 5700$ 匝/厘米²。在 S_M 尺上标出已知值，经过 N_S 尺和 S_M 尺上的点作直线，此直线和 N 尺的交点便是线圈的总匝数 $N = 17000$ 。在 $l_{\text{平均}}$ 尺上标出已知值，经过 $l_{\text{平均}}$ 尺和 N 尺上的点引直线，在 l 尺上便得导线的总长度 $l = 2000$ 米。再经过 $l_{\text{平均}}$ 尺和 S_M 尺上的点引直线，延长此直线与 V 尺相交，交点的读数即线圈的体积 $V = 36$ 厘米³。然后在本图右边的曲线图上找出标有“漆包线”字样的曲线，在这曲线上定出相当于导线直径 $d = 0.1$ 毫米的点，从这点引水平线与 R_V 尺相交，交点的读数便是单位体积内线圈的电阻 $R_V = 130$ 欧/厘米³。再经过 V 尺和 R_V 尺上的点引直线，在 R 尺上便得线圈的电阻 $R = 4700$ 欧。

计算图17

2.7 铁心线圈的电感 [2]

用本图可求铁心线圈的电感，它是根据下面的已知公式

$$L = \frac{0.4 \pi N^2 10^{-8}}{\mu S_{ak}} \quad (2.12)$$

绘制的。铁心的磁阻

$$R_M = \frac{I_{ak}}{\mu S_{ak}} \quad (2.12a)$$

此处： L —线圈的电感，亨； N —线圈的匝数； I_{ak} —铁心中磁路的平均长度，厘米； S_{ak} —铁心的截面积，厘米²； μ —铁心的导磁系数。

铁心的导磁系数决定于铁心的等级以及工作点在磁化曲线上的位置（即决定于流过线圈的直流分量和交流分量的值）。若为中等

铁心且安匝数很小，则近似计算可取导磁系数的起始值 $\mu = 450$ ；若该圈的交流安匝数很大（但在一厘米长度上不超过 0.5 安匝/厘米），则导磁系数可用下式：

$$\mu = \left(0.45 + 2 \frac{I_m N}{l_{sk}}\right) 10^3 \quad (2.13)$$

求得。此处： I_m —电流的交流分量的振幅，安； N —匝数； l_{sk} —铁心中磁路的平均长度，厘米。

本图的运用规则如下：

1. 经过 L 尺和 N 尺上的点作直线，在 R_{st} 尺上得交点。此时，只能都用 L 尺和 N 尺上 A 边（左边）的值或 B 边（右边）的值。
2. 经过 l_{sk} 尺和 R_{st} 尺上的点引直线。
3. 经过上述直线与辅助尺的交点及 μ 尺上的点作直线，此直线在 S_{sk} 尺上截出待求值。

例：

欲使匝数 $N = 8000$ 的扼流圈的电感 $L = 20$ 奈，试决定 III-20 型硅钢片的截面积。设流过扼流圈的直流电流使铁心的导磁系数 $\mu = 110$ ，III-20 型硅钢片的磁路的平均长度 $l_{sk} = 20$ 厘米。

答： $S_{sk} = 4.5$ 厘米²。

本图与公式一样，仅在直流安匝数不超过 5 安匝/厘米及使用的铁心无空气隙的情况下是正确的。

计算图 18

2.8 屏蔽线圈的电感 [3]

用本图可求单层屏蔽线圈的电感量，它是根据下面的半经验公式制成的：

$$L_s = L_0 \left[1 - \left(\frac{D_s}{D_o} \right)^3 \right] \left[1 - \left(\frac{l_s}{2l_o} \right)^2 \right], \quad (2.14)$$

计算图 18 的使用规则如下：

在 $\frac{D_s}{D_o}$ 尺和 $\frac{l_s}{l_o}$ 尺上标出相应的值，经过这两点作直线，此直线和 β 尺相交，经过交点和 L_0 尺上相当于无屏蔽线圈的电感值的点作直线，延长此直线，在 L_s 尺上截出屏蔽线圈的电感值。

对长度超过直径达数倍的多层线圈，本图也能给出相当准确的结果，但此时应取线圈的平均直径代替 D_{so} 。

例：

无屏蔽时单层线圈的电感 $L_0 = 200$ 微亨，直径 $D_o = 50$ 毫米，长度 $l_o = 50$ 毫米；若将此线圈放在直径 $D_s = 90$ 毫米和长度 $l_s = 11$ 毫米的屏蔽罩中，试求在此情形下线圈的电感值。

$\frac{D_s}{D_o} = 0.56$ ； $\frac{l_s}{l_o} = 0.45$ 。由图求得电感值等于 160 微亨；电感变化系数 $\beta = 0.78$ 。

计算图 19

2.9 欧姆定律和功率 [1]

流经电阻 R 的电流 I ，在电阻上产生压降 U 和消耗功率 P ，两者的关系如下：

$$I = \frac{U}{R}, \quad (2.15)$$

$$P = I U = I^2 R = \frac{U^2}{R}. \quad (2.16)$$

用计算图 19 可由任意两已知值求其他两值。求时在相当尺上标出两已知值，作直线连接之，此直线在其他两尺上便截出待求值。此时电阻、电流、功率可用欧、安、瓦为单位；或用千欧、毫安、

毫瓦为单位。

例：

已知： $R = 1.2$ 千欧， $U = 4.3$ 伏。

答数： $I = 3.6$ 毫安， $P = 15.4$ 毫瓦。

计算图20

2.10 电阻的并联[1]

计算图20是根据下式：

$$\frac{1}{R} = \frac{1}{R_1} + \frac{1}{R_2} \quad (2.17)$$

绘成的。用它可求两个电阻并联后的等效电阻。

用本图尚能求两个电感并联后的等效电感

$$\frac{1}{L} = \frac{1}{L_1} + \frac{1}{L_2}, \quad (2.18)$$

和二个电容串联后的等效电容

$$\frac{1}{C} = \frac{1}{C_1} + \frac{1}{C_2}. \quad (2.19)$$

求时，在相当尺上标出两已知值，作直线连接之，此直线在第三尺上便截出待求值。

所有这三个值应用相同的单位。

例：

已知： $R_1 = 500$ 欧， $R_2 = 750$ 欧。

答数： $R = 300$ 欧。

计算图21和22

2.11 RC电路和RL电路的时间常数

用计算图21可求RC电路的时间常数，它是根据下式：

$$\tau = RC \quad (2.20)$$

绘成的。

欲求 τ ，可在 R 尺和 C 尺上标出电路的电阻值和电容值，经过这两点作直线，此直线和 τ 尺的交点便是时间常数值。此时三个值应用标注有相同符号（ A 或 B ）的尺。尺旁标注有 A 的，其单位如下：电容—微法，电阻—兆欧，时间常数—秒。尺旁标注有 B 的，其单位：电容—微微法，电阻—一欧，时间常数—微微秒。

例：

已知： $R = 50000$ 欧， $C = 100$ 微微法。

求得： $\tau = 5$ 微秒。

计算图22是根据下式：

$$\tau = \frac{L}{R} \quad (2.21)$$

制成的。用它可求RL电路的时间常数。此处 L —电感， R —电阻。

在本图的两根尺上标出 R 和 L 值，经过 R 尺和 L 尺上的点引直线，此直线和第三尺 (τ 尺) 相交，交点的读数便是答案。

例：

已知： $R = 100$ 欧， $L = 100$ 毫亨。

求得： $\tau = 1000$ 微秒。

计算图23

2.12 并联回路的计算[4]

本图用以计算简单的并联回路。用它可从回路的电感 L 、电容 C 和并联电阻 R 求回路的波阻抗 ρ 和品质因数 Q 。此外，用本图还可求回路的衰减量 δ 和等效串联电阻 r 。本图是根据下列公式制成的：

$$\rho_0 = \frac{1}{2\pi\sqrt{LC}}; \quad (2.22)$$

$$\rho = 2\pi f_0 L = \frac{1}{2\pi f_0 C} = \sqrt{\frac{L}{C}}; \quad (2.23)$$

$$Q = \frac{1}{\delta} = \frac{R}{\rho} = \frac{\rho}{r}; \quad (2.24)$$

$$R = \frac{\rho^2}{r}. \quad (2.25)$$

在本图的左边部分，经过 L 尺和 C 尺上两已知点引直线，在 f_0 (λ_0) 尺和 ρ 尺上便得回路的谐振频率（波长）值和波阻抗值。在本图的右边部分，从已知值 ρ 和并联电阻 R 可求回路的品质因数 Q (衰减量 δ) 和等效串联电阻 r 。用本图亦可作相反的推算。

例：

已知： $L=150$ 微亨， $C=200$ 微微法， $R=35$ 千欧。

求得： $f_0=920$ 千赫； $\lambda_0=325$ 米； $\rho=865$ 欧；

$Q=40$ ， $\delta=0.025$ ； $r=22$ 欧。

计算图24

2.13 并联回路失調时的阻抗 [4]

本图表示回路两端电压的变化与回路的品质因数和相对失调度的关系。它是根据下式：

$$\frac{U_1}{U_0} = \frac{1}{\sqrt{1 + (2Q \frac{\Delta f_1}{f_0})^2}} \quad (2.26)$$

制成的。此处： Q —回路的品质因数， Δf_1 —失调回路偏离谐振频率 f_0 的值 (Δf_1 和 f_0 应用相同的单位)， U_1 —失调时回路两端的电压， U_0 —谐振时回路两端的电压。比值 $\frac{U_1}{U_0}$ 也表示失调时回路阻抗的变化。

例：

回路的品质因数 $Q=100$ ，当相对失调度 $\frac{\Delta f_1}{f_0}=0.005$ 时，回路两端电压变化 0.707 倍，回路的阻抗也变化相同的倍数。

计算图25

2.14 回路的温度补偿 [5]

欲使回路的谐振频率在温度变化时仍有高度的稳定性，在回路中应接入热补偿电容器。热补偿电容器的电容量在温度变动时，其变化方向与回路的主电容器的电容量的变化方向相反，通常用具有负温度系数的钛康电容器^{脚註}当作热补偿电容器。用电容器的负温度系数来抵消回路中线圈的正温度系数，因而使整个回路的温度系数很小。本图是根据公式：

$$\alpha_C = \frac{\alpha_1 C_1 + \alpha_2 C_2}{C_1 + C_2} \quad (2.27)$$

制成的。此处： α_1 —主电容器 C_1 的温度系数， α_2 —与 C_1 并联的热补偿电容器 C_2 的温度系数， α_c —由两并联电容器 C_1 和 C_2 组成的合成电容器的温度系数。计算时令合成电容器的温度系数 α_c 与线圈的温度系数 α_L 大小相等符号相反； α_c 与 α_L 的差值愈小，热补偿回路的频率稳定性愈高。在图中尺 1 上标出差值 $(\alpha_c - \alpha_2)$ —合成电容器的温度系数与热补偿电容器的温度系数之差，或差值 $(\alpha_1 - \alpha_c)$ —主电容器的温度系数与合成电容器的温度系数之差；若用差值 $(\alpha_1 - \alpha_c)$ 在尺 2 上得热补偿电容器 C_2 的值，若用差值 $(\alpha_c - \alpha_2)$ ，则得主电容器 C_1 的值；尺 3 相当于回路的合成电容 $C=C_1 + C_2$ ；在尺 4 上标出差值 $(\alpha_1 - \alpha_L)$ 。通常从已知值 $\alpha_c = -\alpha_L$ ， α_1 和 $C=C_1 + C_2'$ 求 C_1 和 C_2 。若所有四根尺或仅中间两根尺或两边两根尺乘以因子 $10^{\pm n}$ ，可使本图的使用范围扩大。

^{脚註} 钛康电容器—钛康 (TIKONA) 是陶瓷的一种，它的介电常数大而损耗角小且介电常数的温度系数是负的，所以用钛康为介质的电容器，其电容量的温度系数是负的。